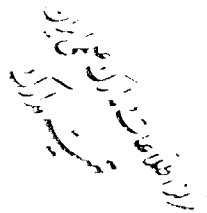


بِسْمِ اللّٰهِ الرَّحْمٰنِ الرَّحِيْمِ



دانشگاه صنعتی اصفهان
دانشکده برق و کامپیوتر

تحلیل تقویت کننده قدرت در فرکانس‌های مایکروویو با استفاده از روش
توازن هارمونیک



پایان نامه کارشناسی ارشد مهندسی برق - الکترونیک

۱۳۸۲ / ۷ / ۱

عبدالحسین رضائی

استاد راهنما

دکترا ابوالقاسم زیدآبادی نژاد

۴۸۷.۳

زمستان ۱۳۸۱



دانشگاه صنعتی اصفهان

دانشکده برق و کامپیوتر

پایان نامه کارشناسی ارشد مهندسی برق - الکترونیک آقای عبدالحسین رضائی
تحت عنوان

تحلیل تقویت کننده قدرت در فرکانس های مایکروویو با استفاده از روش
توازن هارمونیکی

در تاریخ ۸۱/۱۲/۲۱ توسط کمیته تخصصی زیر مورد بررسی و تصویب نهائی قرار گرفت.

دکتر ...
.....

۱- استاد راهنمای پایان نامه

دکتر ...
.....

۲- استاد مشاور پایان نامه

سرپرست تحصیلات تکمیلی دانشکده

خدا را شاکریم که به ما قدرت تعلیم را عنایت فرمود و نیروی عقل را عطا نمود تا به یاری آن پرده های جهل را کنار زده و رازهای نهان طبیعت را آشکار سازیم و از تمامی آنانی که به واسطه تلاش آنها محیطی امن برای دانش اندوزی ما فراهم گردیده سپاسگزارم و از کلیه استادی که در طی این شش سال سرمایه ناچیز علمی خود را مرهون زحمات آنها هستم تشکر می نمایم از جمله آقایان دکتر زیدآبادی نژاد، دکتر صدری، دکتر سیدی، دکتر سقائیان نژاد، دکتر کارشناس، دکتر فرزانه فرد و خانم دکتر ترکمنی آذر. همچنین لازم می دانم از زحمات آقایان دکتر بخشائی و دکتر پورآباده که زحمت داوری این پایان نامه را بر عهده داشتند تشکر و قدردانی نمایم. همچنین به جاست از زحمات بی دریغ همسر مهربانم که در این مدت زحمات زیادی را متحمل شدند نهایت سپاس و قدردانی را داشته باشم.

کلیه حقوق مادی مترتب بر نتایج مطالعات،
ابتكارات و نوآوریهای ناشی از تحقیق موضوع این
پایان نامه متعلق به دانشگاه صنعتی اصفهان
است.

تقدیم به پدر، مادر، همسر و فرزند دلبنده سجاد

فهرست مطالب

<u>صفحه</u>	<u>عنوان</u>
شش	فهرست مطالب
هشت	فهرست اشکال
۵۵	فهرست اشکال
۱	چکیده
۲	فصل اول : مقدمه
	فصل دوم : مدل کردن عناصر نیمه هادی برای تحلیل شبه استانیکی
۵	۲-۱- مدل های عناصر غیر خطی
۷	۲-۲- مدارهای عناصر فشرده و منابع کنترل شده غیر خطی
۸	۱-۲-۲- قضیه جانشینی
۱۰	۲-۲-۲- رسانایی یا مقاومت غیر خطی
۱۳	۲-۲-۳- خازن غیر خطی
۱۵	۲-۴-۲- رابطه بین بسط Q/V , I/V , C/V , G/V
۱۶	۳-۲- دیود سد شاتکی و دیود پیوندی
۱۷	۱-۳-۲- مدل دیود سد شاتکی
۲۲	۴-۲- MESFET های GaAs
۲۲	۴-۴-۲- عملکرد MESFET
۲۶	۴-۴-۲- مدل کردن MESFET
	فصل سوم : روش تحلیل توازن هارمونیکی
۳۱	۱-۳- مسائل یک تحریک سینوسی سیگنال بزرگ
۴۰	۲-۳- الگوریتم حل
۴۱	۱-۲-۳- بهینه سازی
۴۱	۲-۲-۳- روش های جداسازی
۴۵	۳-۲-۳- روش نیوتون
۴۸	۴-۲-۴- الگوریتم انعکاسی
۵۲	۳-۳- انتخاب تعداد هارمونیک ها و نمونه های زمانی
۵۳	۴-۳- مقایسه الگوریتم ها
	فصل چهارم : تقویت کننده قدرت MESFET
۵۷	۴-۱-۴- MESFET های قدرت
۵۷	۴-۱-۱- ساختمان MESFET های قدرت
۵۹	۴-۱-۲- مدل کردن MESFET های قدرت
۶۰	۴-۲- ملاحظات اساسی در طراحی تقویت کننده قدرت
۶۵	۴-۳- طراحی تقویت کننده قدرت MESFET

۶۶ ۴-۱- طراحی تقریبی تقویت کننده های MESFET کلاس A
۶۹ ۴-۲- طراحی تقریبی تقویت کننده های MESFET کلاس B
۷۰ ۴-۳- طراحی مثال ها و اجرای دانسته ها
۷۵ ۴-۴- تحلیل توازن هارمنیکی تقویت کننده های قدرت MESFET
	فصل پنجم : بودسی نتایج حاصل از شبیه سازی
۸۱ ۵-۱- بررسی رفتار MESFET
۸۳ ۵-۲- نتایج حاصل از شبیه سازی
۹۲ ۵-۳- مقایسه نتایج با نتایج مقالات
۹۴ ۵-۴- پاسخ فرکانسی
۹۵ ۵-۵- جدول مقایسه نتایج با نتایج مقالات
۹۶ فصل ششم : جمع بندی و پیشنهادات
۹۸ مراجع و منابع
۱۰۰ چکیده انگلیسی

فهرست اشکال

صفحه

<u>عنوان</u>	<u>صفحه</u>
فصل اول	۸
فصل دوم	۹
شکل ۱-۲ مقاومت نموی سیگنال کوچک یک مقاومت غیرخطی	۱۰
شکل ۲-۲ قضیه جانشینی	۱۱
شکل ۳-۲ رسائی غیرخطی کنترل شده با ولتاژ	۱۲
شکل ۴-۲ مدار معادل غیرخطی سیگنال کوچک رسائی غیرخطی	۱۳
شکل ۵-۲ عنصر غیرخطی با چند کنترل	۱۴
شکل ۶-۲ برش دیود سد شاتکی	۱۵
شکل ۷-۲ مدار معادل دیود سد شاتکی	۱۶
شکل ۸-۲ منحنی مشخصه دیود سد شاتکی	۱۷
شکل ۹-۲ برش GaAs MESFET	۱۸
شکل ۱۰-۲ عملکرد GaAs MESFET	۱۹
شکل ۱۱-۲ مدار معادل غیرخطی GaAs MESFET	۲۰
شکل ۱۲-۲ (الف) اندازه گیری خازن گیت-سورس ب(خازن گیت-درین MESFET تجاری	۲۱
فصل سوم	
شکل ۱-۳ مدار معادل کلی یک قطعه مایکروویو غیرخطی دو دهنگی	۲۲
شکل ۲-۳ یک مدار مایکروویو غیرخطی که به دو زیرمدار خطی و غیرخطی تقسیم شده است	۲۳
شکل ۳-۳ مدار شکل ۲-۳ که در آن منبع ولتاژ تحریک در دهنگاهای $N + 2$ و $N + 1$ به صورت متتابع جریان در دهنگاهای ۱ تا N تبدیل شده است	۲۴
شکل ۴-۳ مدار دیود پمپ شده مثال	۲۵
شکل ۵-۳ مدار ساده شده مثال ۱ که در آن زیر-مدار خطی دو دهنگی به یک دهنگی کاهش یافته است	۲۶
شکل ۶-۳ مدار دیود پمپ شده مثال ۲، این مدار همان مدار شکل ۵-۳ است با این تفاوت که زیرمدار خطی به صورت یک امپدانس درآمده است	۲۷
شکل ۷-۳ مدار تقسیم کننده ولتاژ مثال ۳	۲۸
شکل ۸-۳ استفاده از روش نیوتن برای ریشه یابی در حالت یک بعدی	۲۹
شکل ۹-۳ یک مدار مایکروویو غیرخطی که به دو بخش خطی و غیرخطی تقسیم شده و توسط خطوط انتقال ایده آل فرضی برای تحلیل به روش الگوریتم انعکاسی به هم وصل شده اند	۳۰
شکل ۱۰-۳ مدار موج تابشی برای الگوریتم انعکاسی معادل با شکل ۹-۳	۳۱
شکل ۱۱-۳ مدار مثال ۵ شبکه در برگیرنده دو دهنگی به یک امپدانس سری تبدیل شده است و متتابع تحریک ولتاژ بطور مناسبی تبدیل شده اند	۳۲
شکل ۱۲-۳ مدار معادل موج تابشی برای مثال ۵ الف-زیر-مدار خطی ب-زیر-مدار غیرخطی	۳۳
فصل چهارم	
شکل ۱-۴ مدار معادل یک تقویت کننده ایده آل MESFET	۳۴
شکل ۲-۴ مشخصه I/V درین و خط بار MESFET شکل ۱-۴	۳۵

۶۱ شکل ۴-۳ شکل موج های ولتاژ و جریان تقویت کننده قدرت کلاس A
۶۳ شکل ۴-۴ شکل موج ولتاژ و جریان درین در تقویت کننده ایده آل
۶۶ شکل ۵-۴ مشخصه I/V MESFET و خط بار تقویت کننده
۷۱ شکل ۶-۴ (الف) مدار معادل MESFET قدرت مثال ۱ ب) مشخصه MESFET I/V و خط بار تقویت کننده
۷۴ شکل ۷-۴ توان خروجی و بازده توان نموی تقویت کننده کلاس A بهینه شده از روش توازن هارمونیکی
۷۵ شکل ۸-۴ توان خروجی و بازده توان نموی تقویت کننده کلاس B بهینه شده از روش توازن هارمونیکی
۷۷ شکل ۹-۴ مدار معادل تقویت کننده MESFET
	فصل پنجم
۸۲ شکل ۱-۱ مدار معادل تقویت کننده MESFET
۸۲ شکل ۲-۵ همان مدار شکل ۱-۵ که به دو بخش خطی و غیر خطی تقسیم شده است
۸۴ شکل ۳-۵ شکل موج ولتاژ دو سر خازن غیرخطی گیت - سورس مدار شکل ۵-۱ در فرکانس ۱۰ GHz
۸۴ شکل ۴-۵ شکل موج ولتاژ دو سر منبع جریان کنترل شده غیرخطی مدار شکل ۵-۱ در فرکانس ۱۰ GHz
۸۵ شکل ۵-۵ شکل موج ولتاژ دو سر خازن غیرخطی گیت - درین مدار شکل ۵-۱ در فرکانس ۱۰ GHz
۸۵ شکل ۶-۵ شکل موج جریان خازن غیرخطی گیت - سورس مدار شکل ۵-۱ در فرکانس ۱۰ GHz
۸۶ شکل ۷-۵ شکل موج جریان منبع جریان کنترل شده غیرخطی مدار شکل ۵-۱ در فرکانس ۱۰ GHz
۸۶ شکل ۸-۵ شکل موج جریان خازن غیرخطی گیت - درین مدار شکل ۵-۱ در فرکانس ۱۰ GHz
۸۷ شکل ۹-۵ شکل موج ولتاژ درین مدار شکل ۵-۱ در فرکانس ۱۰ GHz با احتساب ۸ هارمونیک
۸۷ شکل ۱۰-۵ شکل موج ولتاژ درین مدار شکل ۵-۱ در فرکانس ۱۰ GHz در هارمونیک اصلی
۸۸ شکل ۱۱-۵ شکل موج جریان درین مدار شکل ۵-۱ در فرکانس ۱۰ GHz با احتساب ۸ هارمونیک
۸۸ شکل ۱۲-۵ شکل موج جریان درین مدار شکل ۵-۱ در فرکانس ۱۰ GHz در هارمونیک اصلی
۸۹ شکل ۱۳-۵ شکل موج ولتاژ گیت مدار شکل ۵-۱ در فرکانس ۱۰ GHz
۸۹ شکل ۱۴-۵ شکل موج جریان گیت مدار شکل ۵-۱ در فرکانس ۱۰ GHz
۹۰ شکل ۱۵-۵: منحنی توان خروجی بر حسب توان ورودی در فرکانس ۱۰ GHz با احتساب ۸ هارمونیک
۹۰ شکل ۱۶-۵: منحنی توان خروجی بر حسب توان ورودی در فرکانس ۱۰ GHz با احتساب ۸ هارمونیک
۹۱ شکل ۱۷-۵ منحنی توان خروجی بر حسب توان ورودی در مقیاس لگاریتمی در فرکانس ۱۰ GHz
۹۱ شکل ۱۸-۵ منحنی بهره در مقیاس لگاریتمی
۹۲ شکل ۱۹-۵ منحنی توان خروجی بر حسب توان ورودی [۲۱]
۹۳ شکل ۲۰-۵: منحنی توان خروجی بر حسب توان ورودی [۲۴]
۹۳ شکل ۲۱-۵ منحنی توان خروجی به ازای توان ورودی در مقیاس لگاریتمی در فرکانس ۱۵ GHz [۲۵]
۹۴ شکل ۲۲-۵: منحنی بهره در مقیاس لگاریتمی [۲۴]
۹۴ شکل ۲۳-۵ پاسخ فرکانسی مدار شکل ۱-۵

فصل ششم

فهرست جداول

صفحة

٩٥

.....	جدول ١-٥
	فصل ششم
	فصل پنجم
	فصل چهارم
	فصل سوم
	فصل دوم
	فصل اول
	<u>عنوان</u>

چکیده:

در سالهای اخیر تحلیل غیرخطی ، جهت طراحی مدارهای مایکروویو نظریت کننده های قدرت ، مخلوط کننده های فرکانسی ، چند برابر کننده های فرکانسی وغیره مورد توجه قرار گرفته است . برای تحلیل غیرخطی، روش های مختلفی وجود دارد. از جمله حل معادلات دیفرانسیل غیرخطی در حوزه زمان ، روش سری ولترا ، روش سیگنال بزرگ - سیگنال کوچک و روش توازن هارمونیکی . روش حل معادلات دیفرانسیل غیرخطی در حوزه زمان دارای دقت زیاد بوده ولی پیاده سازی کامپیوتری آن مشکل می باشد. روش تحلیل سری ولترا بیشتر برای تحلیل مدارهای غیرخطی ضعیف که شامل چند فرکانسی می باشند کاربرد دارد. روش تحلیل سیگنال بزرگ - سیگنال کوچک برای مدارهای غیر خطی با دو تحريك سینوسی که یکی از آنها خیلی بزرگ و دیگری خیلی کوچک است، بکار می رود و روش تحلیل توازن هارمونیکی برای تحلیل مدارهای غیرخطی قوی تک فرکانسی مورد استفاده قرار می گیرد.

در روش توازن هارمونیکی ابتدا مدار را به دو بخش خطی و غیرخطی تقسیم نموده سپس با استفاده از تحلیل بخش خطی در حوزه فرکانس، مولفه های هارمونیکی جریان یا ولتاژ دهنده ها را بدست آورده و با استفاده تحلیل حوزه زمان و بسط سری فوریه مولفه های جریان یا ولتاژ دهنده ها بخش غیرخطی را بدست می آوریم . در حالت پایدار باید مولفه های جریان هر دهنده بخش خطی با مولفه های جریان همان دهنده در بخش غیرخطی برابر باشد.

در این پایان نامه پس از بررسی اهمیت تحلیل غیرخطی و روش های مختلف آن، یک ترانزیستور MESFET بوسیله مدار معادل غیرخطی جایگزین شده است و جزئیات کامل مدل غیرخطی MESFET مورد بررسی قرار گرفته است سپس با استفاده از روش توازن هارمونیکی یک تقویت کننده قدرت MESFET یک طبقه در فرکانس 10 GHz تحلیل شده است و نتایج حاصل با نتایج مقایسه گردیده است.

فصل اول

مقدمه

قبل از ورود کامپیوتر به صحنه طراحی، مهمترین عامل در به ثمر رسیدن یک طراحی، تجربه و قابلیت‌های فردی طراح بود. در آن زمان طراحی به خصوص در موارد غیرخطی آن بیشتر جنبه هنری داشت تا تکنیکی. با پیدا شدن روش‌های طراحی به کمک کامپیوتر قابلیت‌های جدیدی مطرح شد. استفاده از کامپیوتر در طراحی، امکان انجام محاسبات بسیار پیچیده و تکرار این محاسبات برای دفعات زیاد را فراهم نمود. در این ارتباط، دستیابی به اطلاعات کاملتر و دقیق‌تر قطعات، مدل‌سازی آنها و استفاده از روش‌های تکراری با دقت بسیار زیاد مدنظر قرار گرفت. بدنبال این نیازها، نرم افزارهای متعدد کامپیوترا برای مدل‌سازی، تحلیل و طراحی عرضه گردید. مدارهای مایکروویو نیز از این تحولات مستثنی نبودند و در این اواخر طراحی مدارهای غیرخطی مایکروویو بسیار مورد توجه قرار گرفته است.

در گذشته هنگامی که مسئله طراحی مدارهای غیرخطی مایکروویو مطرح می‌گردید تنها راه حل دقیق برای بررسی رفتار چنین مداری، حل معادلات غیرخطی آن در حوزه زمان بود که آن هم بجز در موارد بسیار ساده و برای مدارهای کوچک، بدون کمک کامپیوتر عملی نبود ولی امروزه الگوریتم‌های جدید کامپیوترا برای این موارد معروفی شده است که بسیار ساده‌تر و با صرفه‌تر می‌باشد. در طراحی غیرخطی چند مشکل وجود دارد. اولین مشکل دستیابی به یک مدل مناسب مداری یا ریاضی‌می‌باشد طوری که بتوان محاسبات

کامپیوتری را روی آن انجام داد. برای ساختن چنین مدلی نیاز به تحلیل غیر خطی آن، جهت مقایسه با رفتار غیر خطی قطعه مورد نظر می‌باشد. مثلاً چنانچه مدل مداری غیرخطی برای یک عنصر تعریف گردد، برای مشخص کردن پارامترهای مدل، باید تحلیل غیرخطی روی آن انجام گیرد. دومین مشکل انتخاب روش تحلیل می‌باشد. تقریباً همه روش‌های تحلیل غیرخطی یک نوع بهینه‌سازی می‌باشند. و می‌توان گفت، دقیق‌ترین روش‌های طراحی آنهایی هستند که بصورت تکرار^۱ کار می‌کنند.

بدین صورت امروزه نقش نرم‌افزارهای تحلیل گر در طراحی مدارهای غیرخطی بسیار مهم می‌باشد. از این‌رو توجه به نرم‌افزارها و پیدا کردن الگوریتم‌های سریع و دقیق برای آنها در بسیاری از موارد هنوز موضوع روز می‌باشد.

با توجه به پیشرفت تکنولوژی ساخت نیمه هادی‌ها، اخیراً امکان استفاده از MESFET^۲‌ها در فرکانس‌های مايكروویو فراهم شده است و در نتیجه بسیاری از مدارها از جمله تقویت‌کننده‌های مايكروویو با MESFET ساخته می‌شوند. بنابراین مدل‌سازی و تحلیل غیرخطی مدارهای ساخته شده با آن مورد توجه قرار گرفته است.

برای تحلیل غیرخطی، روش‌های مختلفی وجود دارد. یکی از این روش‌ها حل معادلات دیفرانسیل غیرخطی در حوزه زمان می‌باشد. که از جمله محسن آن دقت زیاد این روش می‌باشد ولی عیب بزرگ آن، این است که وقت زیادی می‌گیرد و برنامه‌ریزی آن مشکل می‌باشد. روش‌های بسیار کاربردی برای تحلیل غیرخطی، روش سری ولترا^۳، روش توازن هارمونیکی^۴ و روش سیگنال بزرگ - سیگنال کوچک می‌باشد. روش تحلیل سری ولترا بیشتر برای تحلیل مدارهای غیرخطی ضعیف که شامل چند فرکانس می‌باشد کاربرد دارد. روش تحلیل توازن هارمونیکی برای تحلیل مدارهای غیرخطی قوی تک فرکانسی بکار می‌رود. و روش تحلیل سیگنال بزرگ - سیگنال کوچک برای مدارهای غیرخطی با دو تحريك سینوسی که یکی از آنها خیلی بزرگ و دیگری خیلی کوچک است بکار می‌رود. الگوریتم‌های مختلف روش توازن هارمونیکی از جمله الگوریتم انعکاسی [۲۵] و روش نیوتون برای [۲۸، ۲۴، ۳۰] تحلیل عملکرد سیگنال بزرگ تقویت کننده قدرت بکار گرفته می‌شود. در این پایان نامه از مدل MESFET ارائه شده در [۲۱] استفاده شده است. در حقیقت کاری که در این پایان نامه صورت گرفته تحلیل کامل مدار با کلیه جزئیات و نوشتمند بوده که در مقالات فقط بعضی از نتایج برنامه کامپیوتری و بدست آوردن شکل موج و منحنی‌های مختلفی بوده که در مقالات اشاره شده است. آن هم بدون ذکر جزئیات ارائه شده است.

مطلوب این پایان نامه بشکل زیر تنظیم شده است:

فصل اول به مقدمه اختصاص داده شده است و بیانگر هدف از انجام این پروژه، تاریخچه و کاربرد

۱- Iteration

۲-Metal Semiconductor FET

۳- Voltra series

۴- Harmonic Balance

مورد بحث و قسمت‌های مختلف این پایان‌نامه می‌باشد.

فصل دوم به مدل کردن عناصر نیمه‌هادی برای تحلیل شبه‌استاتیکی اختصاص داده شده است. در این فصل در ابتدا دلایل استفاده از مدل‌های شبه‌استاتیکی در تحلیل مدارهای مایکروویو بیان شده و سپس در مورد مدل‌های عناصر غیرخطی و مزایای استفاده از فرآیندهای شبه‌استاتیکی در مدل کردن این عناصر بیان شده است و با استفاده از قضیه جانشینی و سری‌های توانی به مدل کردن عناصر غیرخطی نظری مقاومت‌ها، خازن‌ها و منابع کنترل شده اشاره‌ای شده است. با توجه به اینکه GaAs MESFET و دیود سد شاتکی برای ما اهمیت بسیاری دارند عملکرد این دو قطعه بطور مفصل مورد بررسی قرار گرفته است و مدار معادل هر یک با جزئیات کامل بیان شده است.

فصل سوم به بررسی روش‌های تحلیل مدارهای غیرخطی اختصاص داده شده است. در این فصل دو روش تحلیل توازن هارمونیکی و تحلیل سیگنال بزرگ - سیگنال کوچک مورد مقایسه قرار گرفته و با توجه به شرایط کار ماروش توازن هارمونیکی مورد بررسی قرار گرفته است و همچنین مشکلات عمده کار در حوزه زمان بیان شده است و برای غلبه بر این مشکلات پیشنهاد استفاده همزمان از حوزه زمان و فرکانس شده است.

شایان ذکر است که روش تحلیل توازن هارمونیکی با ذکر مثال بطور کامل بحث شده و الگوریتم‌های مختلف حل، از جمله بهینه سازی، جدا سازی، روش نیوتون و الگوریتم انعکاس مورد بررسی قرار گرفته‌اند و با ذکر مثال‌هایی معاایب و مزایای هریک بیان شده است. همچنین چگونگی انتخاب تعداد هارمونیک‌ها و نمونه‌های زمانی در تحلیل مورد بررسی قرار گرفته است.

فصل چهارم به بررسی تقویت‌کننده MESFET اختصاص داده شده است. در اینجا به دنبال شناخت خصوصیات تقویت‌کننده‌های MESFET هستیم و در نتیجه به بررسی عوامل موثر بر توان خروجی و ملاحظات اساسی در مورد طراحی تقویت‌کننده‌ها از جمله تقویت‌کننده‌های کلاس A و کلاس B پرداخته شده است و شکل موج‌های جریان و ولتاژ و منحنی‌های بازده و توان خروجی بر حسب ورودی رسم شده و نکات لازم برای برنامه شیوه‌سازی بیان شده است.

فصل پنجم به بررسی نتایج حاصل از شیوه سازی اختصاص داده شده است. در این فصل ابتدا بطور مختصر و اجمالی در مورد برنامه شیوه‌سازی نوشته شده و همچنین MESFET بکار برده شده توضیحاتی داده شده است و سپس نتایج حاصل از شیوه‌سازی از جمله منحنی توان خروجی بر حسب توان ورودی و شکل موج‌های جریان و ولتاژ نقاط مختلف و پاسخ فرکانسی نمایش داده شده است. در ادامه به مقایسه نتایج حاصل از شیوه‌سازی با نتایج مقالات با ارایه شکل موجها و منحنی‌های مربوطه و جدول پرداخته شده است.